



# آشکارسازی پویای پوست با استفاده از ادغام ویژگی‌های مبتنی بر هیستوگرام دوبعدی

\* بهاره مرادی و مهدی ازوچی\*

دانشکده مهندسی برق و کامپیوتر، دانشگاه صنعتی نوشیروانی بابل، مازندران، ایران



## چکیده

در این مقاله، روشی پویا برای آشکارسازی پوست (جداسازی پیکسل‌های غیرپوست) در تصاویر رنگی ارائه شده است. روش‌های ایستا به طور عمومی بدلیل بهره‌گیری از یک مدل پوست ثابت، درصورت وجود تغییرات روشنایی و نیز حضور گروه‌های نزدیک‌گوئون در یک تصویر کارایی مناسبی ندارند. در روش ارائه شده، با استخراج اطلاعات محلی پوست در هر تصویر به صورت پویا، الگوریتم در برابر شرایط نورپردازی متغیر بسیار مقاوم شده است. افزون بر این، بهره‌گیری از ویژگی‌های مناسب جداساز، چگونگی ادغام اطلاعات و طبقه‌بندی پیکسل‌ها با استفاده از قاعده تصمیم‌گیری بیز، کارایی بهتری را نسبت به روش‌های پیشین نشان می‌دهد.

واژگان کلیدی: آشکارسازی پوست، مدل پویای پوست، هیستوگرام دوبعدی، روش تصمیم‌گیری بیز.

## A Dynamic Skin Detection Method Using the Fusion of 2-D Histogram-Based Features

Bahare Moradi & Mehdi Ezoji\*

Department of Electrical and Computer Engineering, Babol University of Technology,  
Mazandaran, Iran

## Abstract

This paper presents a dynamic approach to Skin Detection- to separate the skin pixels from non-skin pixels-in colored images. The static methods which use a fixed skin color model, will fail if there are illumination variations or different skin colors in an image. Because of contextual information the proposed algorithm will be less sensitive to the uncontrolled illumination conditions. In addition, the selection of discriminant features and the fusion of them and Bayesian classification increase the accuracy of the proposed method in comparison to the reference methods.

**Keywords:** Skin Detection; Skin Dynamic model, 2-D Histogram; Bayesian Rule.



## ۱- مقدمه

انسدادها یا پوشیدگی‌های جزئی است، نسبت به روش‌های مبتنی بر ویژگی، توجه زیادی را به خود جلب کرده است. بنابراین نخستین گام در آشکارسازی پوست مبتنی بر رنگ در یک تصویر، توصیف پیکسل‌های تصویر در یک فضای رنگ مناسب است؛ به گونه‌ای که به کاهش همپوشانی پیکسل‌های پوست و غیرپوست منجر شود. فرض بر این است که تبدیل فضای رنگ، با فراهم کردن پارامترهای مقاوم در برابر تغییرات شرایط نورپردازی، همپوشانی میان پیکسل‌های پوست و غیرپوست را کاهش می‌دهد. بنابراین تاکنون فضاهای رنگ متعددی برای این منظور پیشنهاد شده است. فضای رنگ RGB پرکاربردترین فضای رنگ برای ذخیره و نمایش تصاویر دیجیتال است. RGB متناظر با سه رنگ اصلی قرمز، سبز و آبی است. یکی از معایب این فضای رنگ، همبستگی بالای کانال‌های رنگ در آن است. برای کاهش این وابستگی به روشنایی، عناصر RGB را هنجارسازی کرده تا مجموع  $r+g+b$  برابر با یک شود. بدین صورت دیگر یکی از مؤلفه‌ها، اطلاعات ارزشمندی در خود نخواهد داشت.

اگر چه طی بررسی انواع روش‌های مدل‌سازی و آشکارسازی پوست نتیجه‌گیری شده است که مدل‌های غیرپارامتری مستقل از تبدیلات فضای رنگ هستند، در حالی که کارایی مدل‌های پارامتری با تغییر فضای رنگ تغییر می‌کند [2] و لی در [3] نشان داده شده است که به‌ازای هر فضای رنگ، یک آشکارساز بهینه می‌توان یافت.

از آن جایی که مؤلفه روشنایی<sup>1</sup> رنگ پوست نسبت به مؤلفه رنگینی<sup>2</sup> آن، تغییرات بسیار بیشتری دارد [4]، برخی پژوهش‌گران تلاش کرده‌اند تنها با پردازش مؤلفه‌های رنگینی به نتایج بهتری دست یابند؛ ولی مقایسه روش‌های گوناگون نشان می‌دهد که نادیده‌گرفتن مؤلفه روشنایی، به کاهش کارایی آشکارساز پوست منجر می‌شود.

افزون بر انتخاب یک فضای رنگ مناسب، برای تفکیک نواحی پوستی و غیر پوستی، یک طبقه‌بند کارآمد نیاز است که بتواند در برابر تغییرات روشنایی، تغییرات رنگ پوست (ویژگی‌های نژادی) و نیز پس‌زمینه‌های پیچیده مقاوم باشد. یکی از ساده‌ترین روش‌های طبقه‌بندی، روش آستانه‌گذاری صریح (آستانه ثابت یا وفقی) روی کانال‌های گوناگون رنگ یا ترکیبی خطی / غیرخطی از کانال‌های رنگ است.

<sup>1</sup> Intensity

<sup>2</sup> Chrominance

در میان فناوری‌های روبه‌رشد، پردازش تصویر و بینایی ماشین، هسته مرکزی پژوهش‌های بسیاری را در مهندسی و علوم رایانه تشکیل می‌دهد. یکی از مسائلهای مهم در بینایی ماشین، آشکارسازی پوست انسان در تصاویر دیجیتال است که پژوهش‌های زیادی در این زمینه صورت پذیرفته است. آشکارسازی پوست، فرآیند یافتن پیکسل‌های رنگ پوست انسان در یک تصویر یا ویدئو است.

آشکارسازی پوست، علاوه بر کاربردهای مستقیم در بسیاری از تحلیل‌های مرتبط با پردازش تصویر و بینایی ماشین به عنوان گام پیش‌پردازش مطرح می‌شود. با نفوذ روزافزون اینترنت در زندگی و لزوم مراقبت از کودکان و نوجوانان در دسترسی به محتواهای نامناسبی چون تصاویر پورنوگرافی و صحنه‌های خشونتبار و عدم کارایی مناسب CyberSitter و SurfWatch مسدودسازی بر پایه تصویر، توجه پژوهشگران را به خود جلب کرده است [1]. از دیگر کاربردهای آشکارسازی پوست می‌توان به ردیابی انسان در ویدئو، آشکارسازی چهره، شناسایی اشخاص، تحلیل ژست، تفسیر زبان اشاره، سامانه‌های بازیابی مبتنی بر محظوظ اشاره کرد.

تاکنون روش‌های گوناگونی در زمینه بینایی ماشین به منظور آشکارسازی پوست ارائه شده است. آشکارسازی پوست انسان، عملیاتِ مستقیم و ساده‌ای به نظر می‌رسد؛ اما در حقیقت، این مسئله بسیار مشکل‌تر از آن است که نشان می‌دهد. با توجه به لزوم استفاده از آشکارسازی پوست برای تصاویری که در طیف مرئی تصویربرداری شده و هم‌چنین محدودیت‌های موجود در روش‌های مبتنی بر طیف غیرمرئی، در بیش‌تر پژوهش‌هایی که در زمینه تشخیص پوست صورت گرفته است، روی تصویربرداری در طیف مرئی تمرکز شده است که به عوامل گوناگونی مانند تغییرات روشنایی، ویژگی‌های دوربین، نژاد، سن، جنسیت و آرایش، پوشش عینک و ... حساس‌اند. اگرچه پردازش در طیف غیرمرئی مانند مادون قرمز و تصویربرداری طیفی می‌تواند بخشی از این دشواری‌ها را کاهش دهد، ولی به دلیل گرانی و پیچیدگی تجهیزات مورد نیاز، به پردازش در طیف غیرمرئی کمتر پرداخته شده است.

آشکارسازی پوست، مبتنی بر اطلاعات رنگ، با توجه به افزایش سرعت پردازش‌ها و با توجه به این که رنگ پوست حاوی اطلاعات مقاوم در برابر چرخش و تغییر مقیاس و

روش هیستوگرام دو بعدی، یک مدل کلی، برای پیکسل های غیرپوست محاسبه می شود. در این مقاله، نیازی به محاسبه مدل پوست در گام آموزش نداریم؛ چون در گام آشکارسازی، مدل پوست برای هر تصویر آزمون، به صورت جداگانه محاسبه می شود؛ سپس با استفاده از مدل پوست محاسبه شده در گام آشکارسازی و مدل غیرپوست محاسبه شده در گام آموزش، طبقه بندی صورت می گیرد. در گام پس پردازش، با اعمال عملیاتی منطقی، روی خروجی طبقه بندی شده در گام قبل، نتیجه آشکارسازی بهبود می یابد. در ادامه به بیان دقیق تر الگوریتم پیشنهادی می پردازیم.

## ۱-۱- انتخاب ویژگی

روشن است ویژگی هایی که به تمایز بیشتر پیکسل های پوست و غیرپوست از هم منجر شوند، می توانند نرخ آشکارسازی را به میزان چشم گیری بهبود بخشند. از این رو، در خلال بررسی ویژگی های متعدد در کanal های رنگ گوناگون (مانند RGB، Normalized RGB، YCbCr، HSI، CMYK، CMY، CIE-XYZ و Lab)، شش Wrapper Method تا از بهترین آن ها طی روش های فیلتر و مبتنی بر مقایسه میزان هم پوشانی هیستوگرام های طبقه پوست و غیرپوست و نیز دست یابی به نرخ آشکارسازی بالاتر و نرخ خطای کمتر انتخاب شده است که سه مورد از آن ها، در [7] نیز استفاده شده است.

این ویژگی های پیشنهادی مبتنی بر ویژگی های  $M_1 = \max(R, G, B)$  و  $M_2 = \min(R, G, B)$  نیز تغییرات متقابل ویژگی های  $R \& A$  و  $R \& Y$ ،  $B \& M$  تعريف شده اند که در زیر بخش بعدی با جزئیات بیشتری تعريف خواهند شد.

$R$  و  $G$  و  $B$  نماینده کanal های سه گانه فضای رنگ RGB،  $a$  و  $b$  به ترتیب نماینده کanal دوم و سوم در فضای رنگ Lab و  $y$  نماینده کanal دوم و سوم در فضای رنگ CMY هستند.

انتخاب این ویژگی ها با این حقیقت فیزیولوژی که پوست نزاده های گوناگون شامل مؤلفه های رنگی قرمز و زرد محسوسی است، هم خوانی دارد.

## ۲-۱- انتخاب مدل پوست / غیرپوست

روش پیشنهادی برای تعیین نقشه نگاشت احتمالی پوست، به محاسبه مدل رنگی پوست و نیز مدل رنگی غیرپوست

اگر چه روش هایی مبتنی بر آستانه تصمیم ثابت در فضاهای رنگی گوناگون مانند [5] برای آشکارسازی پوست ارائه شده است، ولی همان گونه که می دانیم چنین روش هایی به طور معمول در شرایط چالش برانگیز، کارایی مناسبی ندارند. در [6]، آشکارسازی پوست مبتنی بر ادغام ویژگی ها در فضای رنگ RGB با استفاده از روش بیز انجام شده است. در این روش احتمال های شرطی مورد نیاز را از روی هیستوگرام یک بعدی به دست آورده اند؛ سرانجام با آستانه گذاری روی نسبت احتمال های شرطی پوست به غیرپوست، در دو گام جداگانه به آشکارسازی پیکسل های پوست پرداخته اند.

در [7] آستانه گذاری پویا بر روی یک سیگنال خطأ که تبدیلی به دست آمده از فضای RGB است، ارائه شده است. با فرض یکسان بودن رنگ پوست چهره و بدن یک انسان، آستانه ها با استفاده از اطلاعات چهره (که با یک آشکارساز چشم به دست می آید) در هر تصویر به روزرسانی می شوند. بررسی ها نشان می دهد که روش های بیان شده نیز در مواجهه با شرایط نور پردازی متغیر، حضور اشخاص از گروه های نزادی گوناگون و پس زمینه های پیچیده عملکرد ضعیفی دارند.

روش پیشنهادی در این مقاله، به دلیل استفاده از اطلاعات محلی با بهره گیری از هیستوگرام دو بعدی پیشنهاد شده در [8] و نیز بهره گیری از مدلی پویا در تحمیل رنگ پوست در هر تصویر در مقایسه با روش های پیشین مقاومت خوبی در برابر تغییرات روش نایابی، پس زمینه های پیچیده و رنگ پوست از خود نشان می دهد. افزون بر این، در این مقاله با طراحی ماسکی مبتنی بر ویژگی های آماری رنگ پوست، نتیجه خروجی آشکارساز در مرحله پس پردازش به همراه یک عملیات ریخت شناسی<sup>۱</sup> بهبود داده شده است.

ادامه مقاله چنین سازمان دهی شده است: در بخش ۲ گام های گوناگون روش پیشنهادی توصیف می شود. بخش ۳ نتایج آزمایش و مقایسه آن با روش مرجع را در بر می گیرد. بخش ۴ نتیجه گیری، بحث و کارهای آینده را ارائه می دهد.

## ۲- روش پیشنهادی

الگوریتم پیشنهادی در سه گام مجزای آموزش، آشکارسازی و پس پردازش توصیف می شود. در گام آموزش، با استفاده از

<sup>۱</sup> Morphology

## ۱-۲-۲- مدل غیرپوست

برای تعیین مدل غیرپوست، سی تصویر شامل ۲۶۱۳۱۹۹ پیکسل غیرپوست را به صورت تصادفی از مجموعه داده‌ی غیرپوست Invalid source specified. Compaq کردیم؛ سپس با استفاده از هیستوگرام دو بعدی، به ازای هر کدام از ویژگی‌های جداساز معرفی شده، مدل غیرپوست را از روی مجموعه داده آموزش محاسبه می‌کنیم.

مدل غیرپوست محاسبه شده به ازای هر کدام از ویژگی‌های جداساز ( $H_{Ry}^{NS}$ ,  $H_{Ra}^{NS}$ ,  $H_{M2M2}^{NS}$ ,  $H_{M1M1}^{NS}$ ,  $H_{BB}^{NS}$ ) در شکل (۱) دیده می‌شود. با توجه به کوچک‌بودن مقادیر هیستوگرام‌ها، برای نمایش بهتر، از نگاشت لگاریتمی این مقادیر در شکل (۱) برای نمایش استفاده شده است.

## ۱-۲-۲- مدل پوست

مدل پویای پوست، طی گام‌های زیر تعیین می‌شود:

- استخراج ناحیه چهره
- حذف نواحی غیرپوست چهره طی خوشبندی K-Means مبتنی بر
- استخراج مدل رنگی پوست از روی ناحیه پوست چهره، بر پایه هیستوگرام دو بعدی
- استخراج نقشه احتمالی پوست با استفاده از روش آشکارسازی با استفاده از آستانه‌گذاری صریح روی ترکیبی از نقشه‌های احتمالی پوست که هر کدام از آن‌ها به ازای یکی از ویژگی‌های جداساز محاسبه شده‌اند
- بهبود نتیجه طبقه‌بندی با استفاده از یک ماسک پوست مناسب و عملیات ریخت‌شناسی

برای به دست آوردن اطلاعات رنگ پوست در هر تصویر، به صورت روش ذکر شده در Invalid source specified عمل کرده‌ایم. ابتدا می‌توان به کمک جعبه ابزار چشم‌ها را در تصویر تعیین کرد. حال با فرض داشتن مختصات چشم‌ها، مطابق شکل (۲)، Invalid source specified یک ماسک بیضوی در مرکز خط متصل‌کننده دو چشم بنا و نواحی چهره در تصویر استخراج می‌شود. اگر فاصله بین دو چشم L باشد، قطرهای بزرگ و کوچک بیضی

می‌پردازد که این چنین می‌تواند با در نظر گرفتن اطلاعات محلی ناحیه‌های پوست/غیرپوست به کارایی بهتر طبقه‌بندی بیز منجر شود. اگر فرض کنیم که دو ویژگی ورودی  $x$  و  $y$  دارای تعداد t سطح مجزا باشد یعنی:

$y = \{y_1, y_2, \dots, y_t\}$  و  $x = \{x_1, x_2, \dots, x_t\}$  باشد، با بهره‌گیری از روش ارائه شده در (چلیک و همکاران، ۲۰۱۲) هیستوگرام دو بعدی  $H_{xy}^c$  چنین توصیف می‌شود:

$$H_{xy}^c = \{h_{xy}^c(m, n) | 1 \leq m \leq t, 1 \leq n \leq t\} \quad (1)$$

که در آن c طبقه مربوط به پیکسل‌های پوست (S) یا غیرپوست (NS) و  $h_{xy}^c(m, n) \in \mathbb{R}$  چنین است:

$$h_{xy}^c(m, n) = \sum_{\forall u} \sum_{\forall v} \sum_{k=\lceil \frac{w}{2} \rceil}^{\lfloor \frac{w}{2} \rfloor} \sum_{l=\lceil \frac{w}{2} \rceil}^{\lfloor \frac{w}{2} \rfloor} \psi_{(m, n)}(x(u, v), y(u+k, v+l)) \quad (2)$$

که در آن w (یک عدد صحیح و فرد) عرض پنجره در نظر گرفته شده اطراف هر پیکسل را مشخص می‌کند.  $h_{xy}^c(m, n)$  تعداد رخداد سطح n ام از کاتال x یعنی  $x_n$ ، در همسایگی سطح m ام از کاتال y یعنی  $y_m$  را مشخص می‌کند. [ بیانگر عمل گر جزء صحیح است.

دودویی است که رخداد سطح  $x_m$  و  $y_n$  در موقعیت مکانی  $(i, j)$  و  $(i+k, j+l)$  را چنین مشخص می‌کند:

$$\psi_{(m, n)}(x(u, v), y(u+k, v+l)) = \begin{cases} 1 & \text{if } x_m = x(u, v) \& y_n = y(u+k, v+l) \\ 0 & \text{OW} \end{cases} \quad (3)$$

پس از محاسبه مقادیر  $h_{xy}^c(m, n)$ ، مؤلفه‌های هیستوگرام دو بعدی را مطابق رابطه (۴) نرم‌الیزه می‌کنیم:

$$h_{xy}^c(m, n) = h_{xy}^c(m, n) / \sum_{u=1}^t \sum_{v=1}^t h_{xy}^c(u, v) \quad (4)$$

در این مقاله، مدل متناظر با ویژگی‌های رنگی به دو صورت هم رخدادی خودی<sup>۱</sup> همان ویژگی رنگی  $H_{xx}^c$  یا  $H_{yy}^c$  و نیز هم رخدادی متقابل<sup>۲</sup> دو ویژگی رنگی  $H_{xy}^c$  یا  $H_{yx}^c$  محاسبه می‌شود.

<sup>2</sup> Cross co-occurrence

<sup>1</sup> Self co-occurrence

مولفه‌های گوناگون از فضاهای رنگی مختلف و درنظرگرفتن میزان همپوشانی پیکسل‌های پوست و غیرپوست در ناحیه چهره به این نتیجه رسیدیم که مؤلفه‌های فضای رنگی HSV را به عنوان ویژگی‌های ورودی الگوریتم K-Means انتخاب کنیم.

شکل (۴-الف) پراکندگی پیکسل‌های پوست و غیرپوست متعلق به ناحیه چهره را در فضای رنگ HSV نشان می‌دهد.

با فرض این که ناحیه چهره، شامل نواحی پوستی نرمال، سایه افتاده و یا با روشنایی بالا و نیز نواحی غیرپوستی تیره و روشن است، ناحیه چهره، جمعیت پیکسل‌های غیرپوست (چشم‌ها و ابروها) بسیار کمتر از پیکسل‌های پوست است، مطابق شکل (۴-ب) می‌توانیم با انتخاب دو تا از کم جمعیت‌ترین خوش‌های، ناحیه غیرپوست در چهره را استخراج کنیم؛ سپس با حذف پیکسل‌های غیرپوست از ناحیه چهره، اطلاعات رنگی پوست در ناحیه چهره را به دست آوریم.

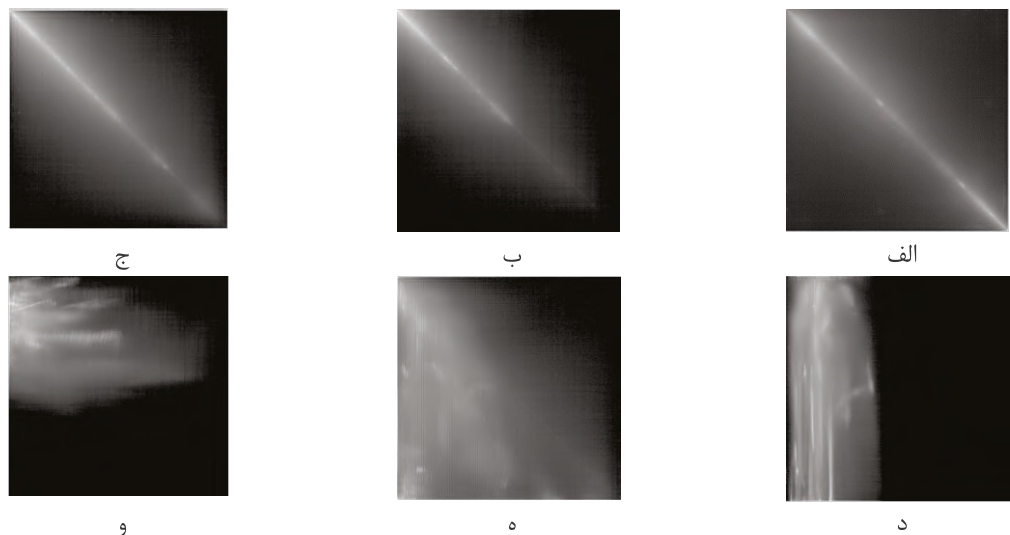
را به ترتیب برابر با  $1/8L$  و  $1/6L$  در نظر می‌گیریم. ماسک بیضوی چنین محاسبه می‌شود:

$$(5) \quad \frac{(x - x_0)^2}{(d/2)^2} + \frac{(y - y_0)^2}{(D/2)^2} \leq 1$$

که در آن  $x$  و  $y$  به ترتیب محورهای افقی و عمودی،  $(x_0, y_0)$  مرکز خط متصل کننده دو چشم و نیز  $d$  و  $D$  به ترتیب قطرهای کوچک و بزرگ بیضی هستند.

روشن است که ناحیه چهره استخراج شده شامل هر دو گروه پیکسل‌های پوست و غیرپوست است. همان‌گونه که می‌دانیم، ناحیه پوست دارای بافت هموار و ناحیه غیرپوست مانند چشم‌ها و لب‌ها دارای بافت غیر هموار است. از سوی دیگر، می‌دانیم که رنگ پوست انسان‌ها از گروههای نزدی گوناگون، ناحیه کوچکی از فضای رنگ را اشغال می‌کند [2] با درنظرگرفتن این موضوع، می‌توان با استفاده از خوش‌بندی K-Means ناحیه چهره را به دو گروه پیکسل‌های پوست و غیرپوست تقسیم‌بندی کرد.

در شکل (۳)، نتیجه استخراج ناحیه چهره در سه فضای رنگ CMY، RGB و HSV نشان داده شده است. پس از بررسی



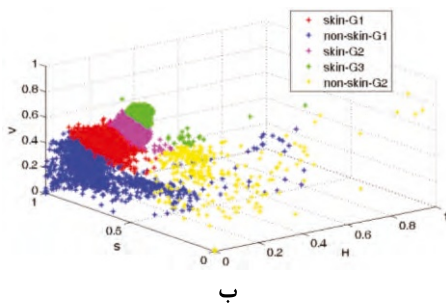
(شکل-۱): نمایش لگاریتمی مدل غیر پوست محاسبه شده از روی مجموعه آموزش الف:  $H_{M1M1}^{NS}$ ,  $H_{BB}^{NS}$ , ب:  $H_{M2M2}^{NS}$ , ج:  $H_{bm}^{NS}$ , د:  $H_{Ry}^{NS}$ , ه:  $H_{Ra}^{NS}$ , س:  $H_{M1M2}^{NS}$

(Figure-1): Logarithmic depiction of non-skin model extracted from training set from top/right to down/left:  $H_{BB}^{NS}$ ,  $H_{M1M1}^{NS}$ ,  $H_{M2M2}^{NS}$ ,  $H_{Ra}^{NS}$ ,  $H_{Ry}^{NS}$ ,  $H_{bm}^{NS}$

دقیق محاسبه کنیم. با این وجود، مدل پوست به دست آمده هم‌چنان قابل قبول است و نتایج آشکارسازی نیز این فرض را تأیید می‌کند.

اکنون می‌توانیم به‌ازای هر کدام از شش ویژگی معرفی شده، مدل رنگی پوست متناظر با ناحیه پوستی

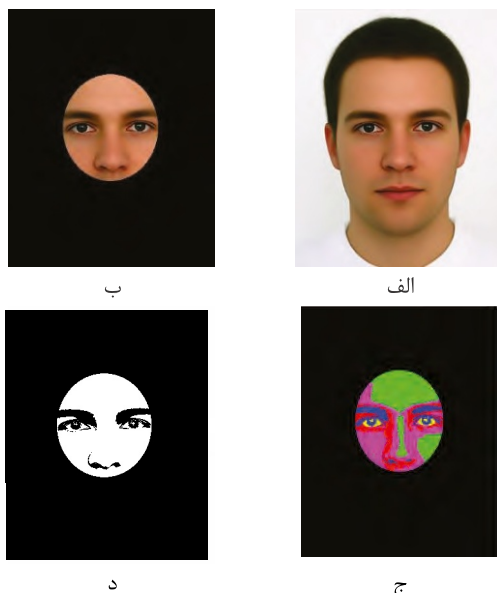
همان‌گونه که شکل (۵) نشان می‌دهد، با استفاده از عملیات خوش‌بندی، در این گام، تمامی پیکسل‌های پوست و غیرپوست به درستی تقسیک نمی‌شوند و هم‌چنان مقداری از پیکسل‌های غیرپوست در گروه پیکسل‌های پوست باقی می‌مانند. در واقع در این گام نمی‌توانیم مدل پوست را به طور



(شکل-۴)-الف: پراکندگی پیکسل‌های پوست و غیرپوست ناحیه چهره در فضای رنگی HSV. ب: خوشبندی پیکسل‌های پوست و غیرپوست ناحیه چهره در فضای رنگی HSV

(Figure-4): From top to down: Scatter plot of skin and non-skin pixels, Clustering of the skin and non-skin pixels in HSV color space

نمونه‌ای از ناحیه پوستی استخراج شده مبتنی بر فضای رنگ HSV در شکل (۵) نشان داده می‌شود.



(شکل-۵)-الف: تصویر اصلی [11]. ب: ناحیه چهره استخراج شده مبتنی بر مختصات چشم‌ها. ج: خوشبندی ناحیه چهره. د: پیکسل‌های پوست چهره

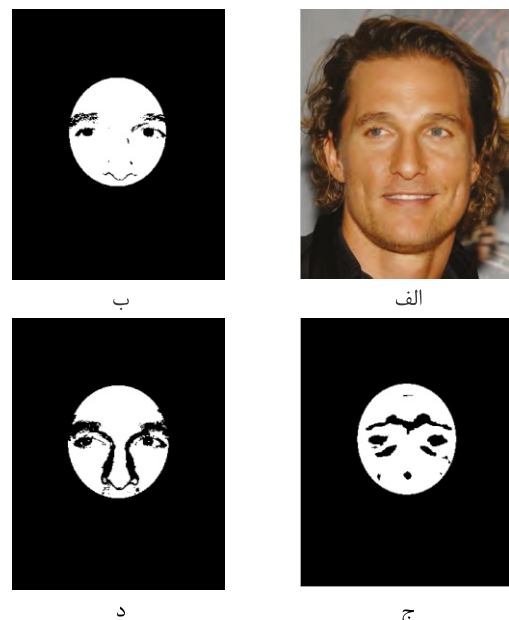
(Figure-5): From top/right to down/left: Input image [11], Face region extracted from eyes points, Clustering of the pixels in the face region, Skin pixels

**۳-۲- گام آشکارسازی**  
در این گام، تصویر RGB ورودی را به فضاهای رنگی معرفی شده، انتقال می‌دهیم و ویژگی‌های جداساز را استخراج می‌کنیم. به منظور محاسبة احتمال شرطی ویژگی‌های معرفی شده که از روی تصویر آزمون استخراج شده‌اند، از

استخراج شده را با استفاده از روابط (۱-۲) به دست آوریم. هیستوگرام دوبعدی پوست ویژگی‌های گوناگون متناظر با شکل (۵) در شکل (۶) نشان داده شده است. مشابه با شکل (۱)، در شکل (۶) هم با توجه به کوچک‌بودن مقادیر هیستوگرام‌ها، لگاریتم آن‌ها نشان داده شده است.

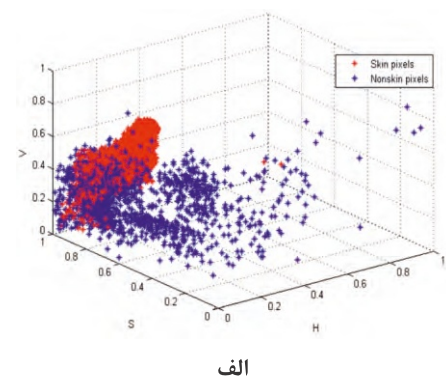


(شکل-۲): مدل ماسک بیضوی بنا شده روی مختصات چشم‌ها  
(Figure-2): Elliptic mask model based on eyes points



(شکل-۳)-الف: تصویر اصلی و ناحیه چهره استخراج شده مبتنی بر مختصات چشم‌ها، مبتنی بر فضای رنگ ب: HSV.

ج: CMY  
د: CMY  
(Figure-3): From top/right to down/left: Input image and face regions extracted based on different color spaces: HSV, CMY and RGB, respectively.



الف

که در آن  $C$  یکی از کلاس‌های پوست یا غیرپوست و  $H_{xy}^C$  ماتریس هم‌رخدادی متقابل ویژگی‌های  $x$  و  $y$  در کلاس  $C$  است. بدین صورت در تصمیم‌گیری درباره یک پیکسل، به‌احتمال پوست/غیرپوست بودن همسایگان آن پیکسل مبتنی بر هم‌رخدادی خودی ( $x = y$ ) و غیرخودی ( $x \neq y$ ) هم توجه می‌شود. با فرض مستقل بودن ویژگی‌ها از یکدیگر و با استفاده از روش تصمیم‌گیری بیز، مقدار احتمالی پوست را متناظر با ویژگی‌های مختلف در هم ادغام می‌توان کرد:

$$\frac{\prod_{i=1}^n p(x_i | S)}{\prod_{i=1}^n p(x_i | NS)} \geq \theta \quad (7)$$

که در آن  $x_i$ ،  $i$  امین ویژگی جداساز،  $n$  تعداد کل ویژگی‌ها و  $\theta$  یک مقدار آستانه است که به صورت تجربی انتخاب و در آزمایش‌های گوناگون یکسان انتخاب شده است. اگرچه میان ویژگی‌ها مقداری وابستگی وجود دارد و مقدار دقیق احتمال‌ها توسط رابطه (6) به دست نمی‌آید، با این وجود، نتایج مشاهده شده در [1] و [2] نشان می‌دهد که تصمیم‌گیری مبتنی بر این روش، برای طبقه‌بندی پاسخ مناسبی می‌دهد.

پیکسل‌هایی که نسبت شباهت متناظر آن‌ها بزرگتر از مقدار  $\theta$  است به عنوان پیکسل پوست برچسب می‌خورند و بر عکس.

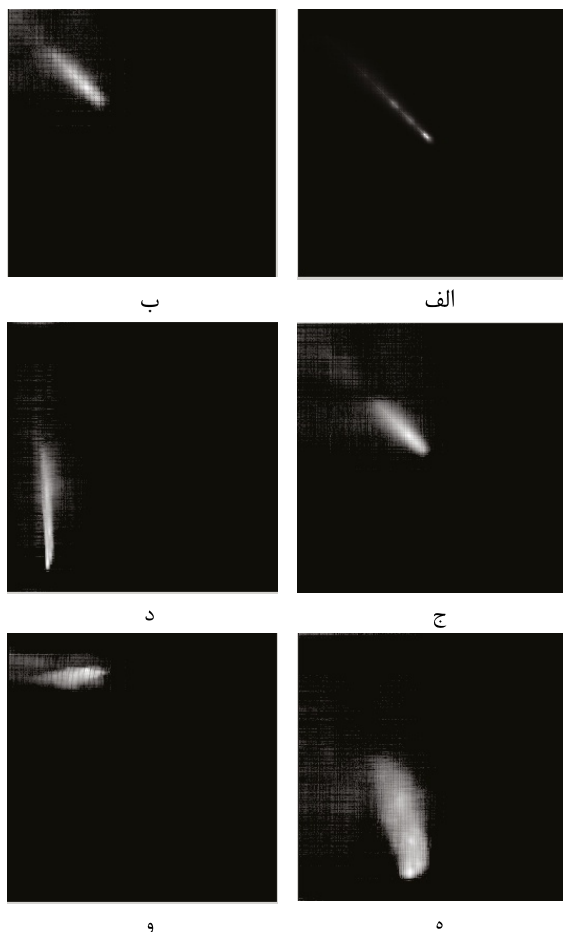
نقشه احتمالی پوست برای شش ویژگی پیشنهاد شده به‌ازای یک تصویر آزمون در شکل (7) نشان داده شده است. همان‌گونه که از شکل (7) پیدا است یک ویژگی به تنها یی نمی‌تواند تمام پیکسل‌های پوست و غیرپوست را به درستی تفکیک کند؛ به علاوه استفاده از یک ویژگی به تنها یی در تغییرات روشنایی و پس‌زمینه‌های پیچیده نیز ضعیف عمل می‌کند. از این‌رو در این مقاله با استفاده از رهیافت ادغام ویژگی‌های مناسب و ترکیب اطلاعات ویژگی‌های معرفی شده، توصیف بسیار مناسب‌تری از نواحی پوستی ارائه داده و فرآیند آشکارسازی را بهبود داده‌ایم.

#### ۴-۴-پس پردازش

در این مقاله، پس از بررسی ویژگی‌های گوناگون از رنگ پوست انسان، ماسکی ارائه کردیم که می‌تواند نتیجه آشکارسازی را بهبود چشم‌گیری بخشد.

همان‌گونه که می‌دانیم پوست انسان مؤلفه قرمزنگ بالایی دارد؛ با درنظر گرفتن این واقعیت و نیز تأیید آماری،

مدل‌های پوست و غیرپوست محاسبه شده در گام پیشین استفاده می‌کنیم.



(شکل-۶) - نمایش لگاریتمی مدل پوست محاسبه شده به‌ازای ویژگی‌های مختلف الف:  $H_{BB}^S$ , ب:  $H_{M1M1}^S$ , ج:  $H_{Ry}^S$ , د:  $H_{bm}^S$ , ه:  $H_{Ra}^S$ , ه:  $H_{M2M2}^S$  تصویر شکل ۴

(Figure-6): Logarithmic depiction of skin model computed from different features using Fig. 4 -from top/right to down/left-  $H_{BB}^S$ ,  $H_{M1M1}^S$ ,  $H_{M2M2}^S$ ,  $H_{Ra}^S$ ,  $H_{Ry}^S$  and  $H_{bm}^S$ , respectively.

نقشه احتمال شرطی پوست و غیرپوست برای هر پیکسل  $(i, j)$  و به‌ازای ماتریس ویژگی  $x$  و  $y$  چنین محاسبه می‌شود:

$$p(x(i, j), y(i, j) | C) = \sum_{k=-\lceil \frac{w}{2} \rceil}^{\lceil \frac{w}{2} \rceil} \sum_{l=-\lceil \frac{w}{2} \rceil}^{\lceil \frac{w}{2} \rceil} H_{xy}^C(x(i+k, j+l), y(i+k, j+l)) \quad (8)$$

همچنین اعمال ماسک پیشنهادی روی یک مجموعه داده بزرگتر شامل هزار تصویر که به صورت تصادفی از مجموعه داده Compaq [9]، انتخاب شده‌اند نیز نتایج پیشین را تصدیق می‌کند. این آزمایش نیز نشان می‌دهد که پیکسل‌های غیرپوست در این مجموعه داده نیز شرایط (۸) را برآورده می‌کنند؛ بنابراین، این ماسک می‌تواند با حذف بخشی از نواحی غیرپوست که به اشتباہ پوست تشخیص داده شده‌اند نتیجه آشکارسازی را بهبود دهد. شکل (۸) نتیجه اعمال ماسک پیشنهادی روی شش تصویر از مجموعه داده [11] Pratheepon را نشان می‌دهد.

پس از اعمال ماسک پیشنهادی روی خروجی گام آشکارسازی، نتیجه نهایی را با حذف حفره‌های بسیار کوچک بهبود می‌دهیم؛ برای حذف حفره‌ها ابتدا یک بلوک  $w^*w$  اطراف هر پیکسل در نظر می‌گیریم. اگر بیشتر از ۸۰٪ از پیکسل‌های موجود در همسایگی یک پیکسل که به عنوان پیکسل غیرپوست تشخیص داده شده است، پیکسل‌های پوست باشند، آن پیکسل را به عنوان پیکسل پوست انتخاب می‌کنیم. همچنین اگر بیشتر از ۸۰ درصد از پیکسل‌های موجود در همسایگی یک پیکسل که به عنوان پیکسل پوست تشخیص داده شده است، پیکسل‌های غیرپوست باشند، آن پیکسل را به عنوان پیکسل غیرپوست انتخاب می‌کنیم. این مقادیر آستانه به صورت تجربی و با درنظر گرفتن مصالحه‌ای میان مقادیر TPR و FPR بدست آمده است.

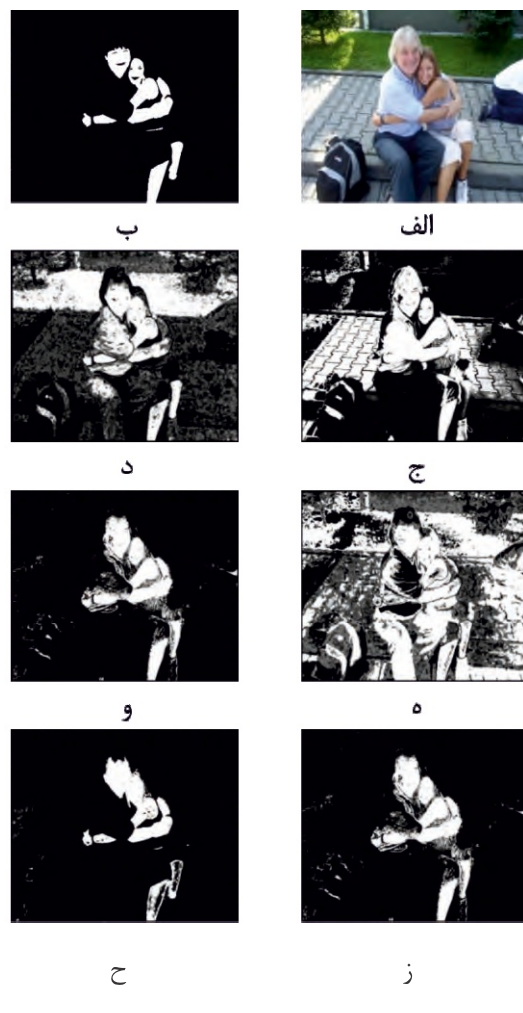
$$g_1(m,n) = \begin{cases} 1 & \max(R,G,B)(m,n) = R(m,n) \\ 0 & \text{OW} \end{cases} \quad (8)$$

$$TPR = \frac{TP}{TP + FN} \quad (9)$$

### ۳- نتایج آزمایش‌ها

برای ارزیابی الگوریتم پیشنهادی به اندازه‌گیری خطای طبقه‌بندی می‌پردازیم. ممکن است طبقه‌بند به اشتباہ یک پیکسل غیرپوست را پوست و یا یک پیکسل پوست را غیرپوست تشخیص بدهد. این خطاهای به ترتیب False Negatives (FN) و True Positives (TP) نامیده می‌شوند. در بحث آشکارسازی پوست، True Positives (TP) در پیکسل‌های پوستی هستند که طبقه‌بند، به درستی آن‌ها را پیکسل پوست تشخیص داده است. True Negatives (TN) نامیده می‌شوند.

نتیجه گرفته‌ایم که در بیشتر پیکسل‌های پوست مقدار مؤلفه قرمزنگ از مقدار مؤلفه‌های سبز و آبی رنگ بیشتر است. از این‌رو ماسک پیشنهادی مطابق (۸) خواهد بود.



شکل -۷- الف: تصویر اصلی، ب: Ground truth، ج: نقشه احتمال پوست برای ویژگی‌های جداساز معرفی شده: (ج-د) هم اتفاقی خودی  $R$  و  $|R-G|$  و  $\max(R, G, B) - \min(R, G, B)$  و  $R \& A$  و  $R \& Y$  و  $B \& M$ .

(Figure-7): from top/right to down/left: Input image, Ground Truth, Skin probability maps based on self/cross co-occurrence discriminant features such as R,  $|R-G|$ ,  $\max(R, G, B) - \min(R, G, B)$ , R&A, R&Y and B&M.

مجموعه داده Pratheepon [11] شامل ۷۸ تصویر با تعداد ۳۱۵۰۴۸۲۷۱ پیکسل پوست و ۱۵۶۴۸۲۷۱ پیکسل غیرپوست است.

اعمال ماسک پیشنهادی در (۸) بر تصاویر این مجموعه داده نشان می‌دهد که ۹۹٪۰۲۵ درصد از پیکسل‌های پوست و ۵۸٪۶۱۲۲ درصد از پیکسل‌های غیرپوست در رابطه (۸) صدق می‌کنند.



(شکل - ۸)- نتیجه اعمال تنهای ماسک پیشنهادی در رابطه (۸) بر روی برخی تصاویر مجموعه داده [11] Pratheepan (Figure - 8): Results of the proposed mask from Eq. (8) on some images from Pratheepan dataset [11]

تصاویر آزمون، نرخ آشکارسازی الگوریتم پیشنهادی بالاتر از ۷۰٪ است. امتیاز روش ارائه شده در این مقاله پایین‌نگاهداشت نرخ خطای ضمن بالبردن نرخ آشکارسازی است.

آزمایش دو: از آنجاکه فراوانی پیکسل‌های پوست در تصاویر گوناگون آزمایش یک، با هم فرق دارد، در کنار چنین نموداری (شکل ۹)، نتیجه اعمال الگوریتم پیشنهادی را بر روی تعدادی از تصاویر آزمون نشان داده‌ایم. از مقایسه چشمی‌ای دیداری این خروجی‌ها، کارایی بهتر الگوریتم پیشنهادی تأیید می‌شود. شکل (۱۰) کارایی روش پیشنهادی و روش ارائه شده در [۶] را مورد مقایسه قرار می‌دهد. از مقایسه چشمی‌ای دیداری این خروجی‌ها، به سادگی دیده می‌شود که روش پیشنهادی در این مقاله نسبت به روش [۶] نرخ خطای کمتری دارد و بسیار بهتر عمل می‌کند.

شکل (۱۱) نتایج روش پیشنهادی و روش ارائه شده در [۱۱] و [۱۳] را نشان می‌دهد. همان‌گونه که دیده می‌شود، روش پیشنهادی در این مقاله، در تصاویری که روش‌های مورد مقایسه خطای زیادی از خود نشان داده‌اند، بهتر عمل کرده است.

در شکل (۱۲) بهازی چند تصویر خانوادگی، روش پیشنهادی و روش ارائه شده در [۱۱] مورد مقایسه قرار گرفته‌اند.

شکل (۱۳) نتیجه اعمال روش پیشنهادی روی تصاویر دیگری از مجموعه داده Pratheepan را نشان می‌دهد. وجود پس‌زمینه‌های ساده و پیچیده، رنگ پوست گروه‌های نژادی گوناگون و تغییرات روشنایی در تصاویر مورد ارزیابی و پایین بودن نرخ خطای FPR کارایی الگوریتم پیشنهادی را ثابت می‌کند.

پیکسل‌های غیرپوستی هستند که طبقه‌بند به درستی آن‌ها را پیکسل غیرپوست تشخیص داده است. این مقادیر با مقایسه پیکسل به پیکسل تصویر طبقه‌بندی شده توسط آشکارساز و ماسک‌های درستنمای منتظر آن (Ground Truth) چنین محاسبه می‌شود:

$$FPR = \frac{FP}{FP + TN} \quad (10)$$

مقادیر معرفی شده به منظور ترسیم منحنی مشخصه عملکرد سامانه (ROC) که بیانگر مصالحة نسبی میان سود و هزینه است برای نشان دادن کارایی یک طبقه‌بند، استفاده می‌شوند (فاؤست و همکاران، ۲۰۰۶). برای ارزیابی کارایی الگوریتم پیشنهادی، آزمایش‌های گوناگونی بر روی تصاویر پایگاه‌های داده [۹] و Compaq [11] Pratheepan انجام شده است.

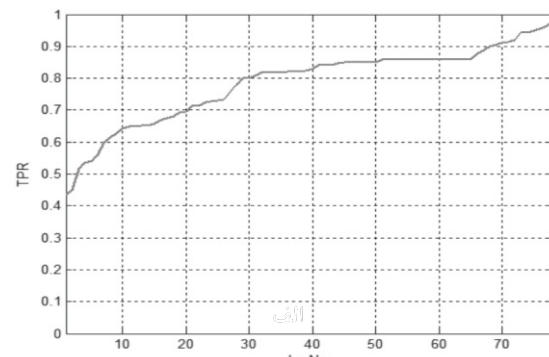
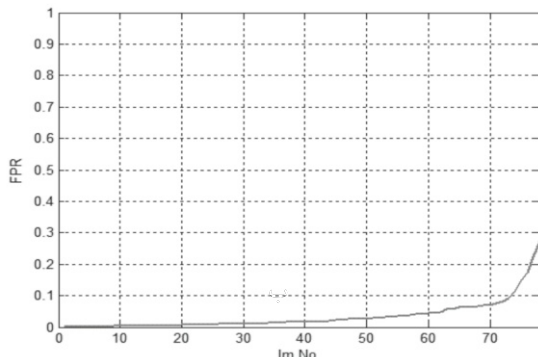
آزمایش یک: در این بخش کارایی الگوریتم پیشنهادی را روی مجموعه داده Pratheepan ارزیابی می‌کنیم. این مجموعه داده از ۷۸ تصویر که به صورت تصادفی از Google دانلود شده و توسط دوربین‌های گوناگون در شرایط

نورپردازی مختلف تصویر برداری شده‌اند تشکیل شده است و ۳۲ تصویر چهره و ۴۶ تصویر خانوادگی در پس‌زمینه‌های ساده و پیچیده دارد. این مجموعه شامل ۳۱۵۰۴۸۲ پیکسل پوست و ۱۵۶۴۸۲۷۱ پیکسل غیرپوست است.

شکل (۹) نمودارهای TPR و FPR به دست آمده از اعمال روش پیشنهادی روی تصاویر مجموعه داده Pratheepan [۱۱] را نشان می‌دهد. نرخ خطای این روش برای ۹۳/۵۹ درصد از تصاویر این مجموعه داده کمتر از ۱۰٪ است؛ در حالی که نرخ خطای روش ها مانند روش [۶] تا ۵۰٪ پیش رفته است. از سویی دیگر در ازای بیش از ۶۰٪

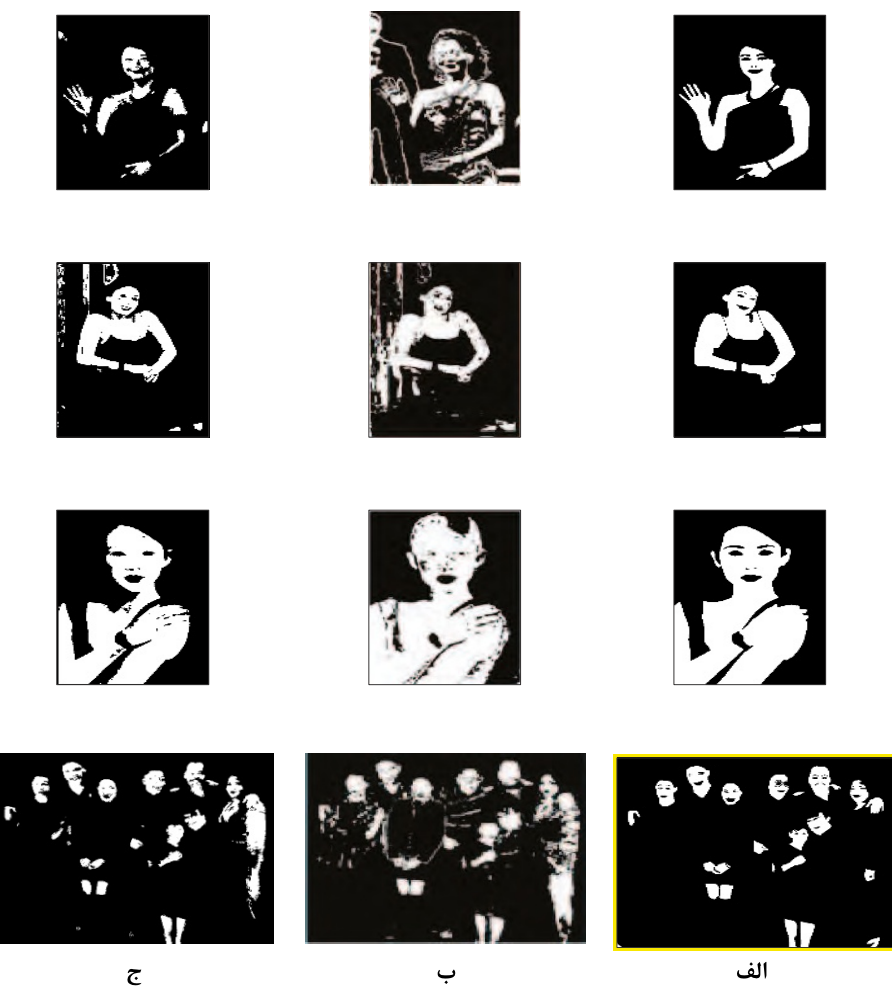
پیشنهادی و روش ارائه شده در [14] را نمایش می‌دهد. همان‌گونه که در شکل (۱۳) دیده می‌شود، به ازای مقادیر یکسان از نرخ آشکارسازی (TPR)، مقدار خطا در این رهیافت نسبت به رهیافت ارائه شده در [14] بسیار کمتر است.

**آزمایش سه:** در این آزمایش با اعمال مقادیر آستانه گوناگون، منحنی تغییرات TPR بر حسب FPR را به ازای تصویرهای مجموعه داده Pratheepan [11]، رسم شده است. شکل (۱۴) منحنی ROC محاسبه شده برای روش



شکل-۹-الف: نرخ آشکارسازی(TPR) و ب: نرخ خطأ(FPR) برای روش پیشنهادی روی مجموعه داده Pratheepan

(Figure-9): Results of the proposed method on Pratheepan dataset, first row: TPR, Second row: FPR

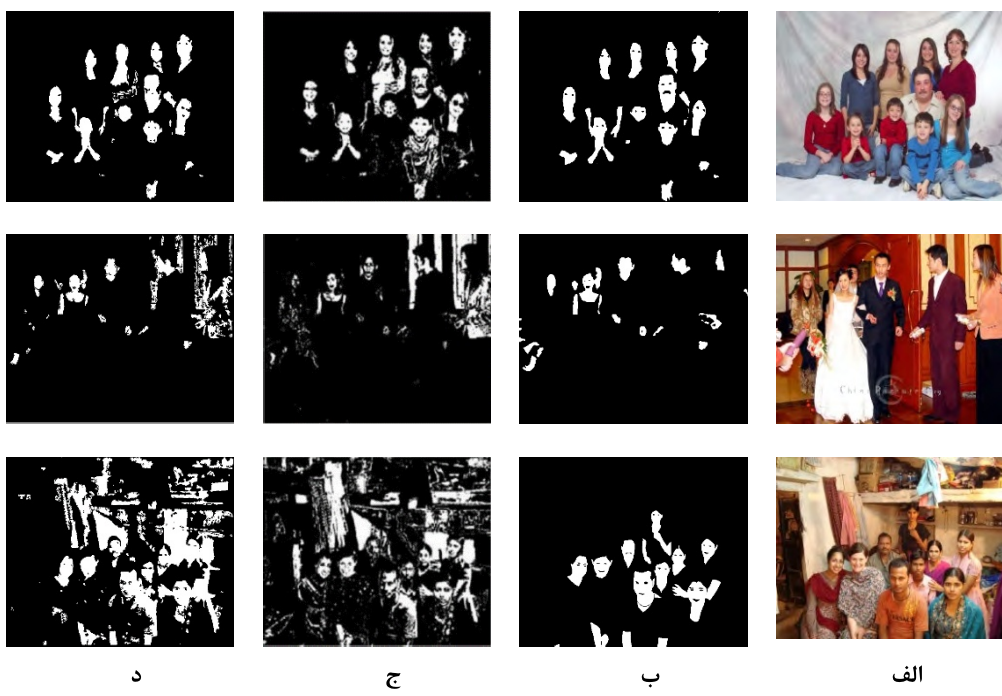


شکل-۱۰-الف: ground truth و نتیجه حاصل از روش پیشنهادی در ب: [7]، ج: این مقاله (Figure-10): From right column to left column: Ground truth, Results of the methods proposed in [7] and this work, respectively.



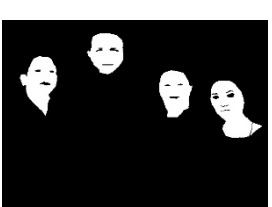
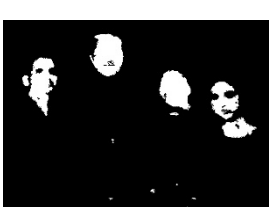
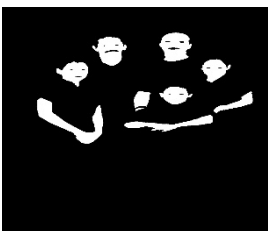
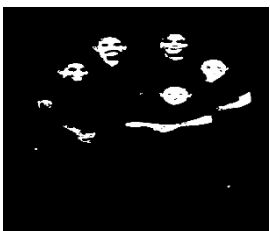
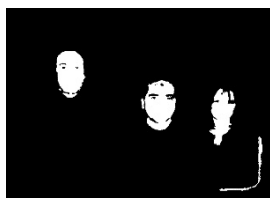
(شکل-۱۱)-الف: ground truth، و نتیجه روش پیشنهادی در ب: [13]، ج: [11]، د: این مقاله

(Figure-11): From right column to left column: Ground truth, Results of the methods proposed in: [13], [11], and this work, respectively.



(شکل-۱۲)-الف: تصویر اصلی [11]، ب: ground truth، و نتیجه روش پیشنهادی در ج: [11]، د: این مقاله

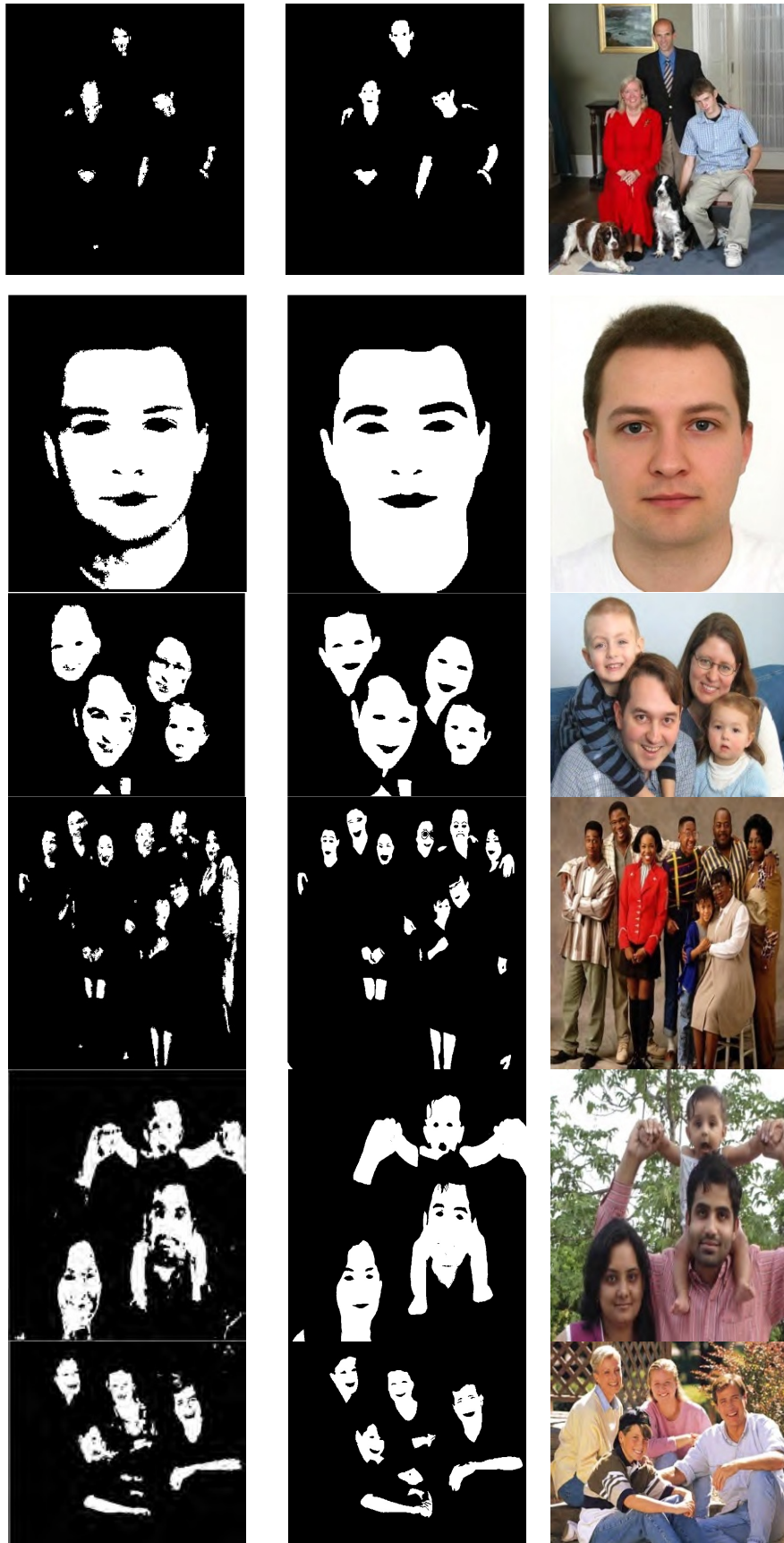
(Figure-12): From right column to left column: Original image, Ground truth, Results of the methods proposed in [11] and this work, respectively.



فصل نهم

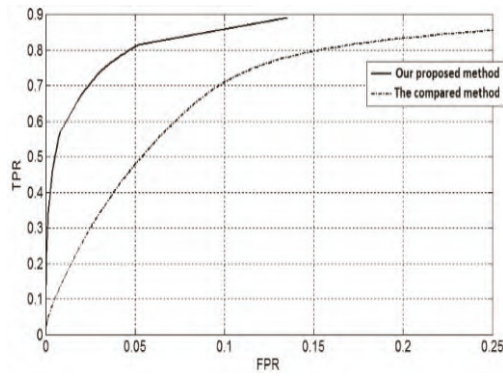
سال ۱۳۹۵ شماره ۲ پیاپی ۲۹







(شکل-۱۳)-الف: تصویر اصلی، ب: ground truth، ج: نتیجه حاصل از روش پیشنهادی در این مقاله  
 (Figure-13): From right column to left column: Original Images, Ground truth, Results of the method proposed in this work, respectively.



(شکل-۱۴)- منحنی ROC متناظر با روش پیشنهادی و روش ارائه شده در [۱۴]  
 (Figure-14)-ROC Curves corresponding to the methods proposed in this work and [14]

- [9] M. J. Jones and J. M. Rehg, "Statistical color models with application to skin detection," *International Journal of Computer Vision*, vol. 46, no. 1, pp. 81-96, 2002.
- [10] I. Fasel, B. Fortenberry and J. Movellan, "A generative framework for real time object detection and classification," *Computer Vision and Image Understanding*, vol. 98, no. 1, pp. 182-210, 2005.
- [11] W. R. Tan, C. S. Chan, P. Yogarajah and J. Condell, "A fusion approach for efficient human skin detection," *IEEE Transactions on Industrial Informatics*, vol. 8, no. 1, pp. 138-147, 2012.
- [12] L. I. Kuncheva, "On the optimality of naive bayes with dependent binary features," *Pattern Recognition Letters*, vol. 27, no. 7, pp. 830-837, 2006.
- [13] I. Hwang, S. H. Lee, B. Min and N. Cho, "Luminance adapted skin color modeling for the robust detection of skin areas," in *20th IEEE International Conference on Image Processing (ICIP)*, 2013.
- [14] B. Moradi and M. Ezoji, "Skin detection based on contextual information," in *2nd international conference on pattern recognition and image analysis*, 2015.



**بهاره مرادی** مدرک کارشناسی و کارشناسی ارشد خود را در رشته مهندسی برق-الکترونیک به ترتیب از دانشگاه یزد و دانشگاه صنعتی نوشیروانی با بل دریافت کرد. ایشان در حال حاضر، پژوهش‌های خود را در زمینه پردازش سیگنال و تصویر، بازناسنی الگو، بینایی ماشین و هوش مصنوعی ادامه می‌دهند.

نشانی رایانامه ایشان عبارت است از:

b.moradi@stu.nit.ac.ir



**مهندی ازوچی** مدرک کارشناسی خود را در سال ۱۳۸۱ از دانشگاه صنعتی شریف و مدارک کارشناسی ارشد و دکتری را به ترتیب در سال‌های ۱۳۸۳ و ۱۳۸۹ از دانشگاه صنعتی امیرکبیر در رشته مهندسی برق-الکترونیک دریافت کرد. زمینه‌های مورد علاقه ایشان شامل بینایی ماشین، بازناسنی آماری/اسختاری الگو و نیز یادگیری منیفلد است.

نشانی رایانامه ایشان عبارت است از:

m.ezoji@nit.ac.ir

## ۴- نتیجه‌گیری

در این مقاله، یک روش آشکارسازی پویا مبتنی بر هیستوگرام دوبعدی و نیز روش تصمیم‌گیری بیز با معرفی شش ویژگی رنگی کارآمد ارائه شده است. استفاده از یک مدل پوست خاص برای هر تصویر، استفاده از اطلاعات پیکسل‌های مجاور مبتنی بر هیستوگرام دوبعدی و ادغام ویژگی‌ها در یک بستر احتمالاتی به کارایی بهتر روش پیشنهادی در برابر شرایط نورپردازی، پس‌زمینه‌های پیچیده و تغییرات گروه‌های نژادی منجر شده است. هم‌چنین، گام پس‌پردازش شامل ماسک پوست پیشنهادی و عملیات دودویی نتیجه نهایی را بهبود داده است. مقایسه روش پیشنهادی با روش‌های مرجع نشان می‌دهد روش پیشنهادی کارایی بسیار بهتری نسبت به روش مرجع دارد.

## ۵- مراجع

- [1] P. Greenfield, P. Rickwood and H. C. Tran, "Effectiveness of internet filtering software products," *Australian Broadcasting Authority Mathematical and Information Sciences*, pp. 34-55, 2001.
- [2] P. Kakumanu, S. Makrogiannis and N. Bourbakis, "A survey on skin-color modeling and detection methods," *Pattern Recognition*, vol. 40, no. 3, pp. 1106-1122, 2007.
- [3] A. Albiol, L. Torres and E. J. Delp, "Optimum color space for skin detection," in *International Conference on Image Processing*, 2001.
- [4] J. Yang, W. Lu and A. Waibel, "Skin-color Modeling and Adaption," in *Computer Vision (ACCV)*, 1997.
- [5] F. Tomaz, T. Candeias and H. Shahbazkia, "Fast and accurate skin segmentation in solar images," in *First Canadian Conference on Computer and Robot Vision*, 2004.
- [6] M. Shoyaib, M. Abdullah-Al-Wadud, O. Chae and R. Byungyong, "Skin Detection Using Statistics of Small Amount of Training Data," *Electronics Letters*, vol. 48, no. 2, pp. 87-88, 2012.
- [7] P. Yogarajah, J. Condell, K. Curran and P. McEvitt, "A dynamic threshold approach for skin tone detection in colour images," *International Journal of Biometrics*, vol. 4, no. 1, pp. 38-55, 2012.
- [8] T. Celik, "Two-dimensional histogram equalization and contrast enhancement," *Pattern Recognition*, vol. 45, no. 10, pp. 3810-3824, 2012.

